

Fig. 1

2/13

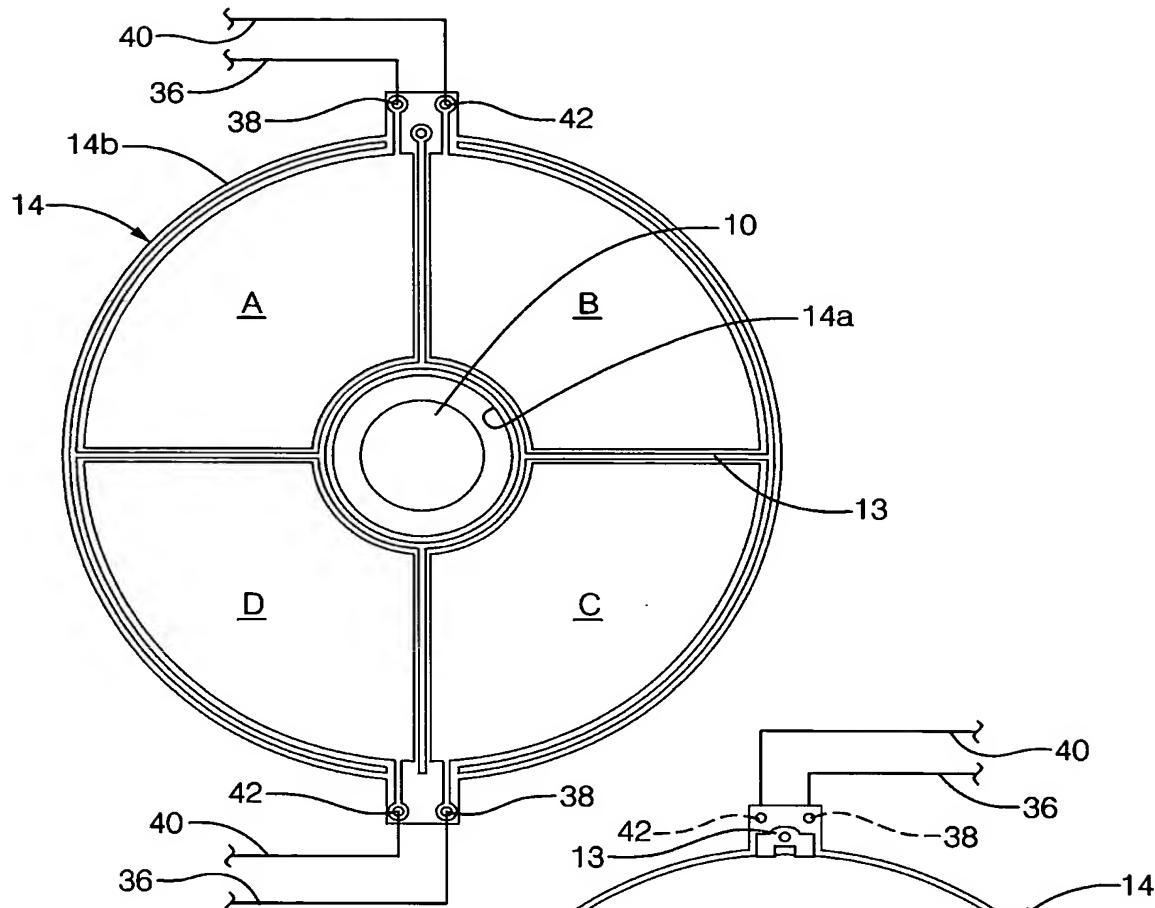


Fig. 2

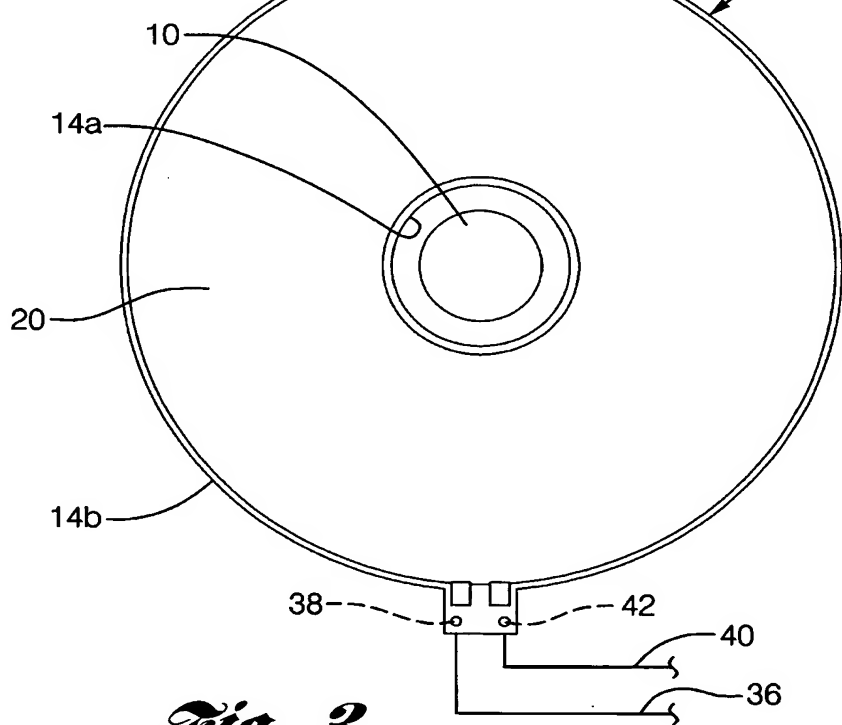


Fig. 3

3/13

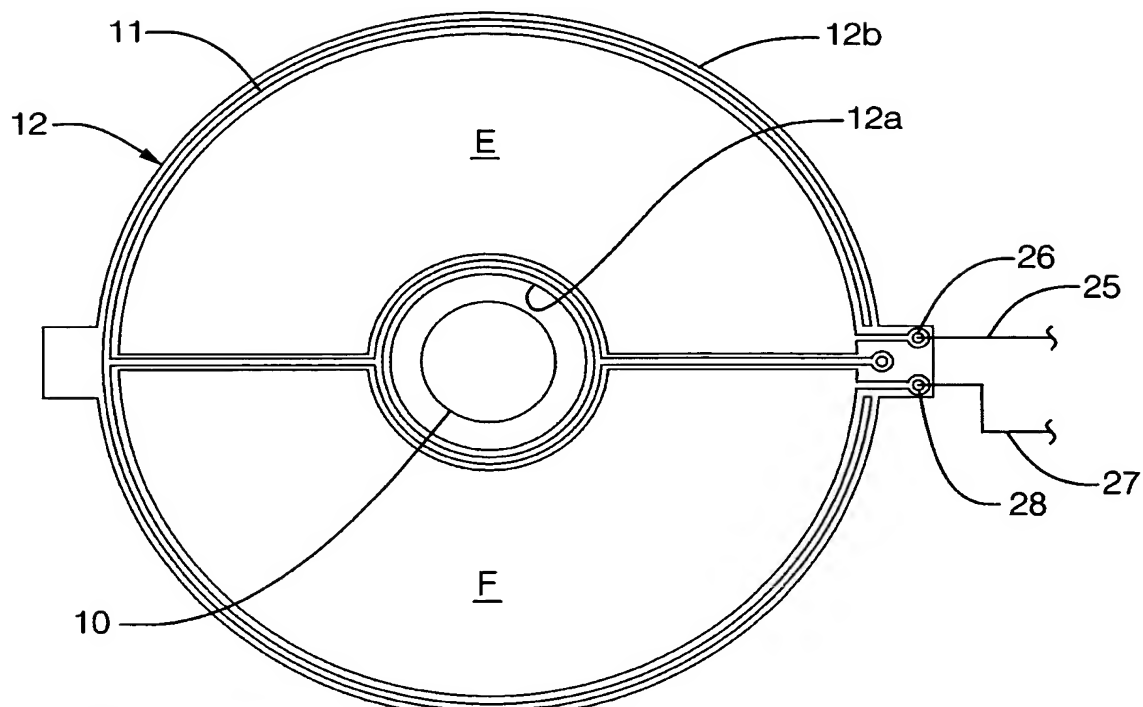


Fig. 4

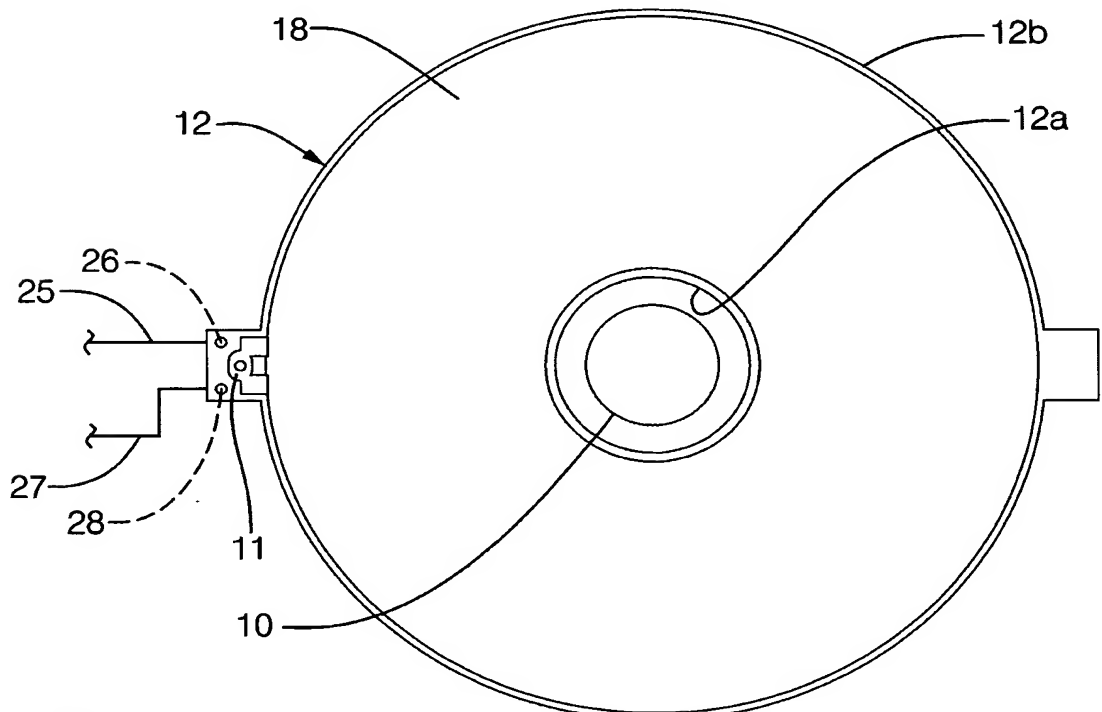


Fig. 5

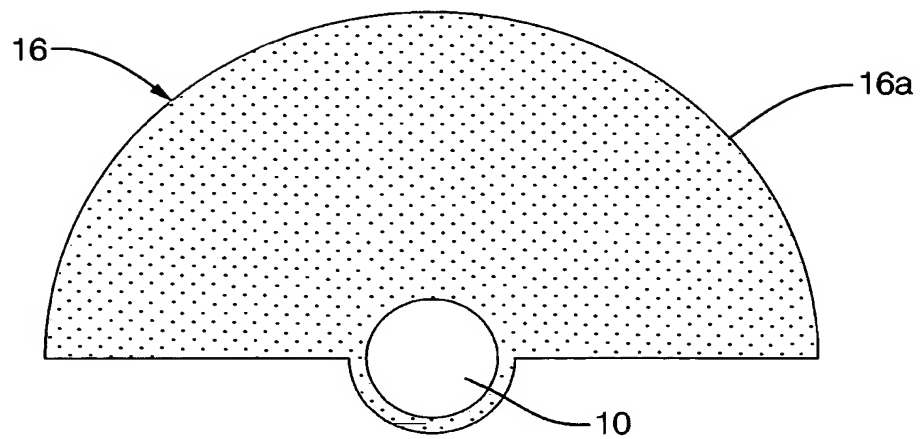


Fig. 6

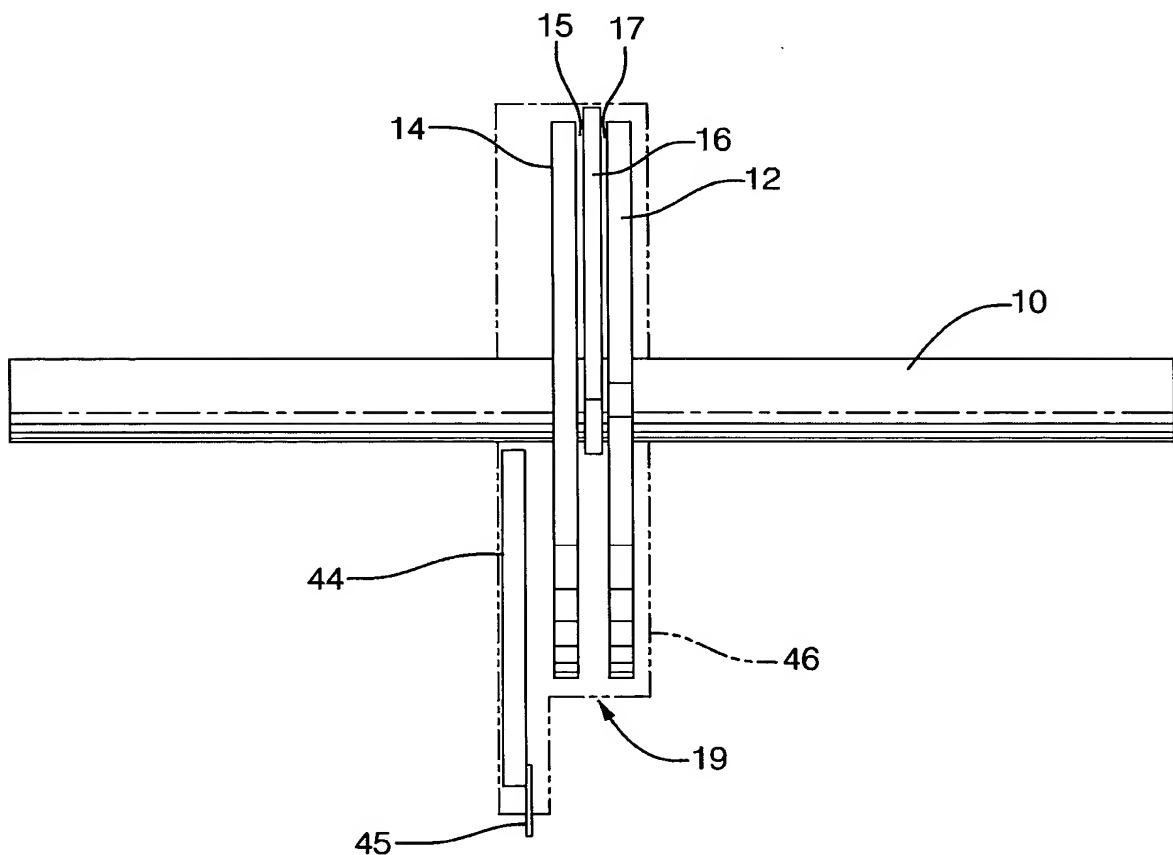


Fig. 7

5/13

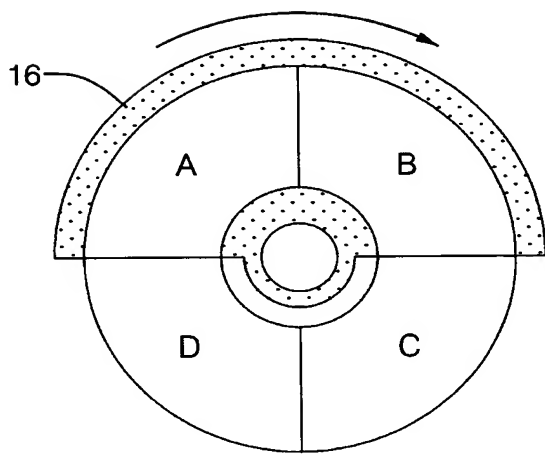


Fig. 8A

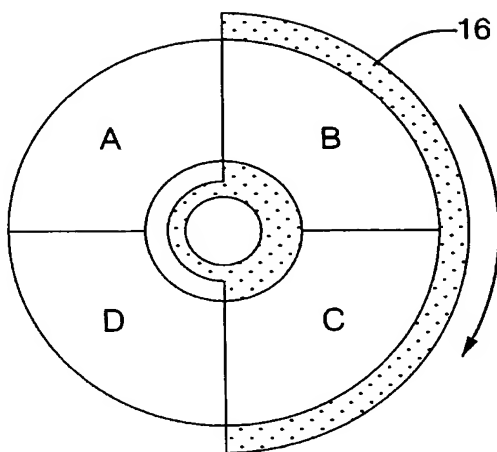


Fig. 8B

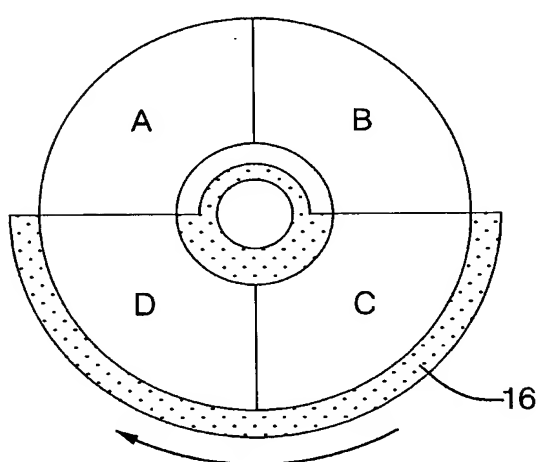


Fig. 8C

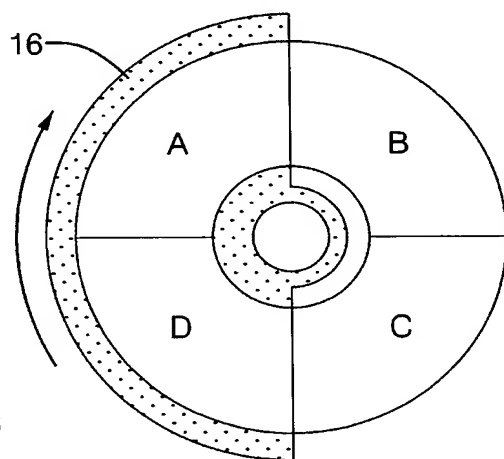


Fig. 8D

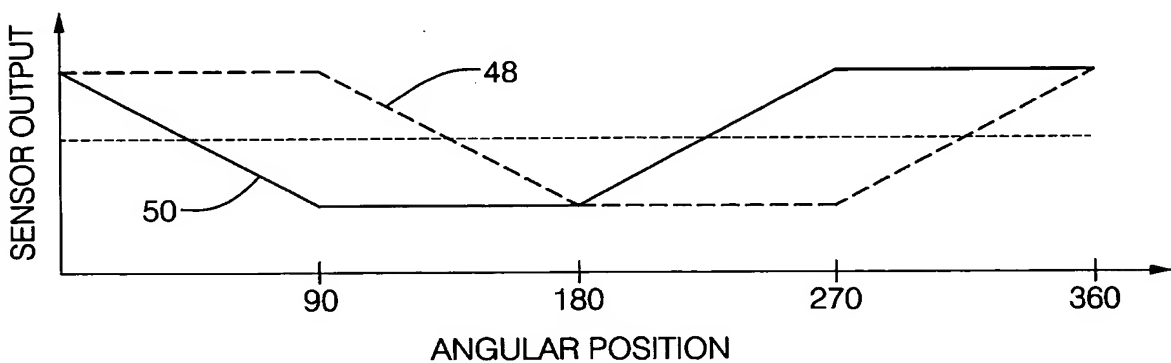
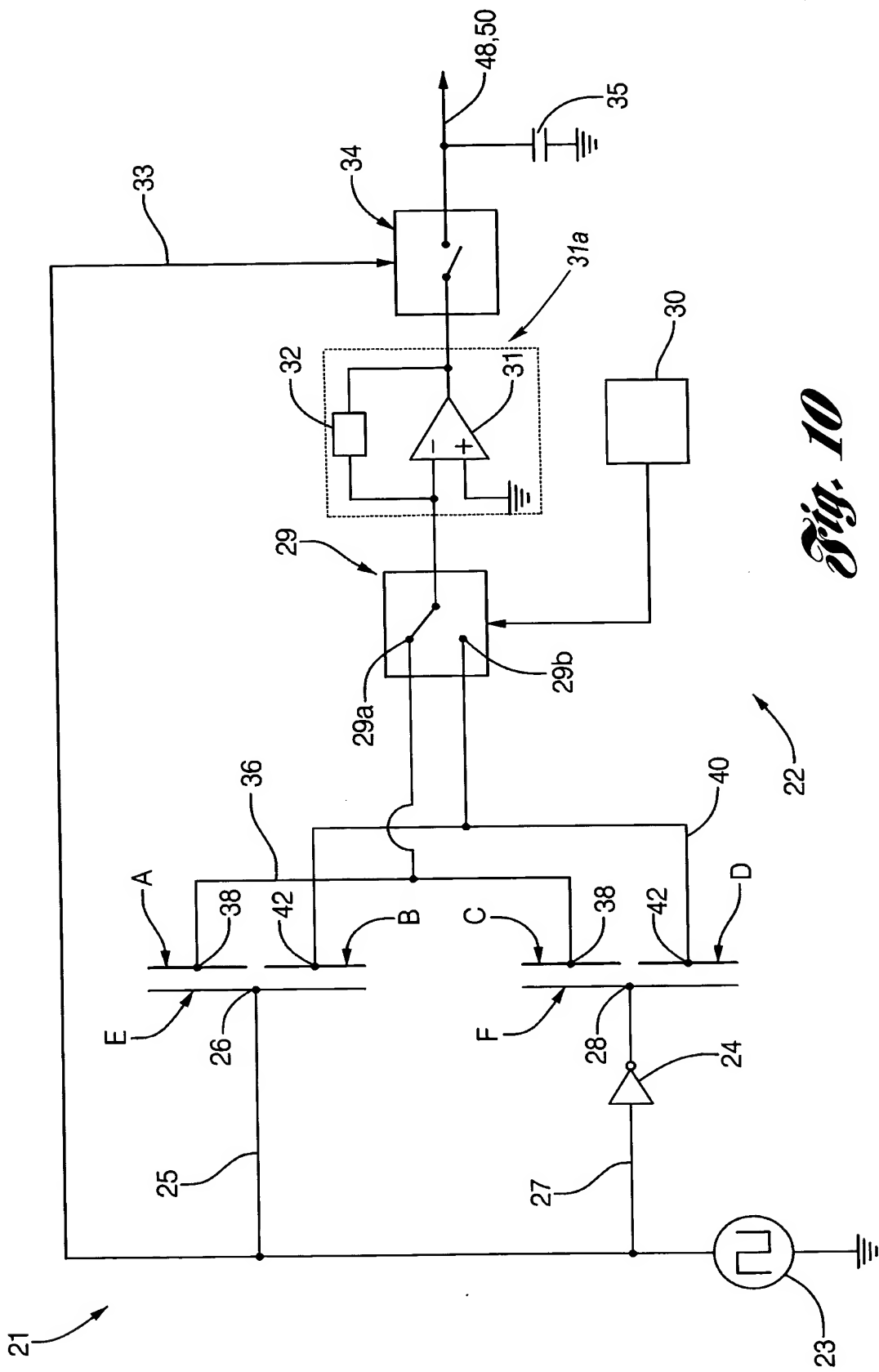


Fig. 9



7/13

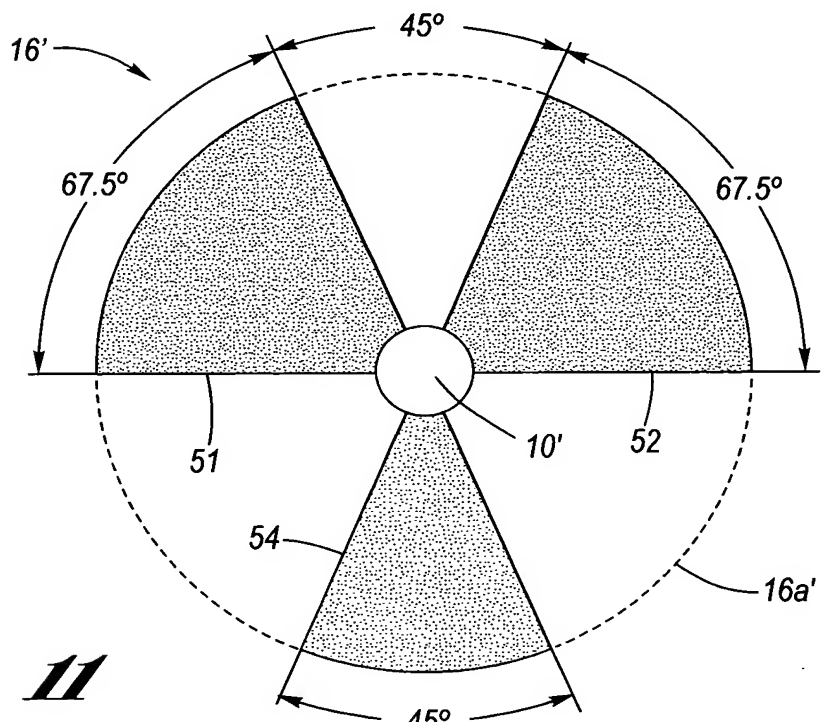


Fig. 11

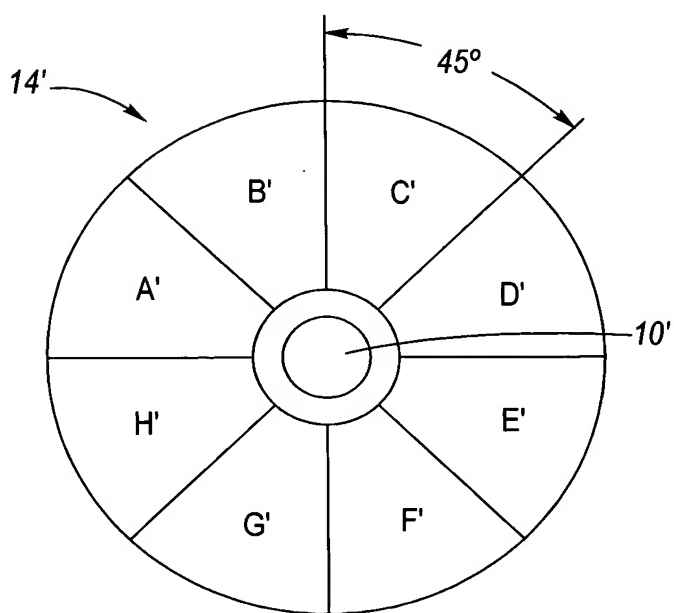


Fig. 12

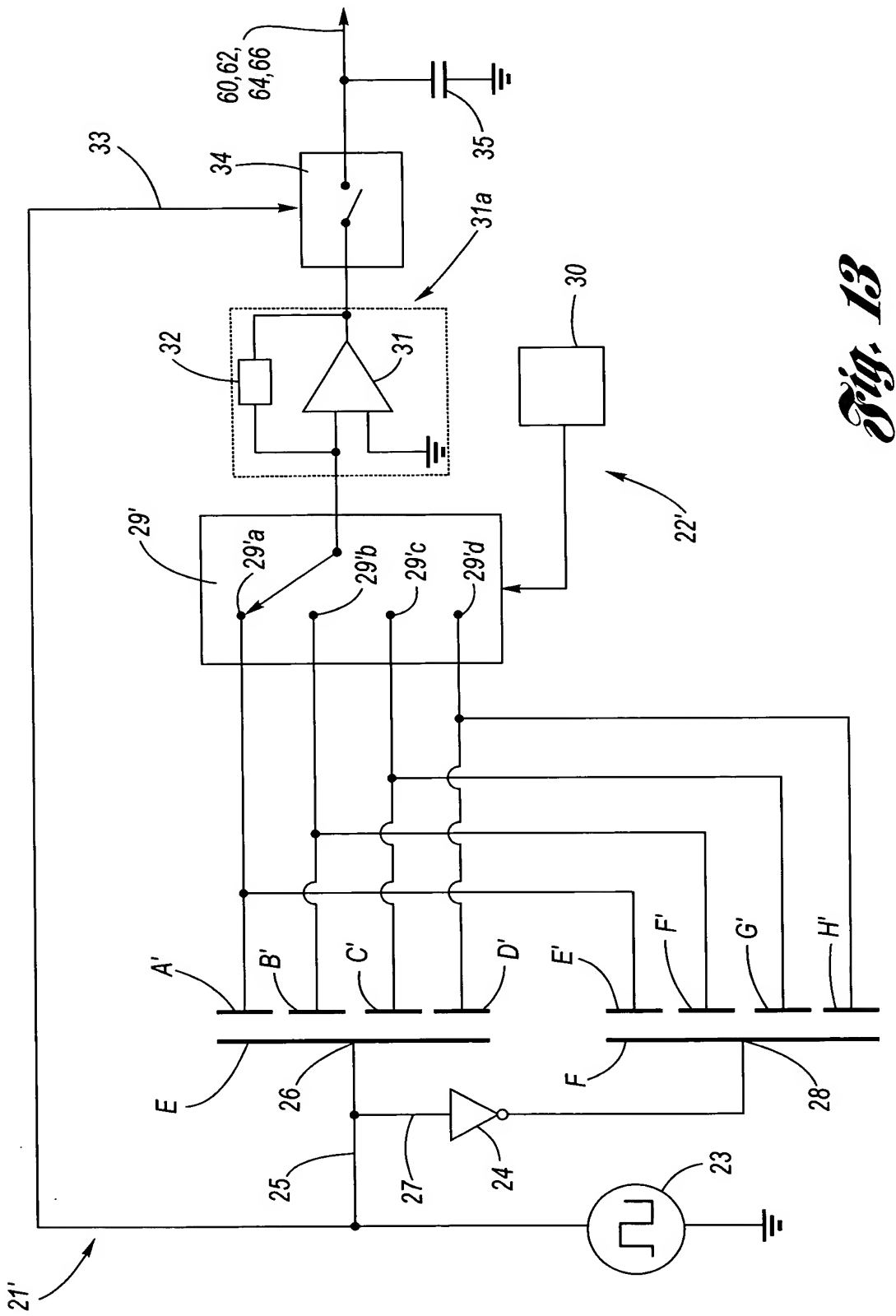


Fig. 13

9/13

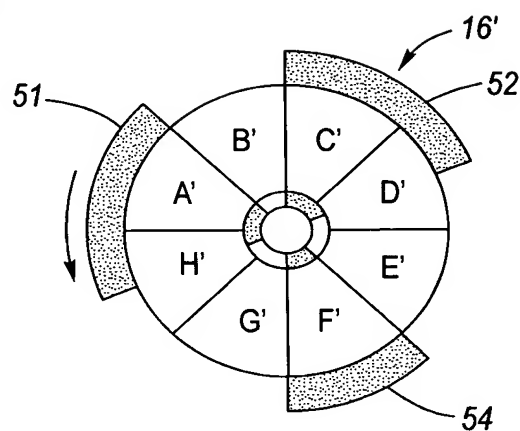
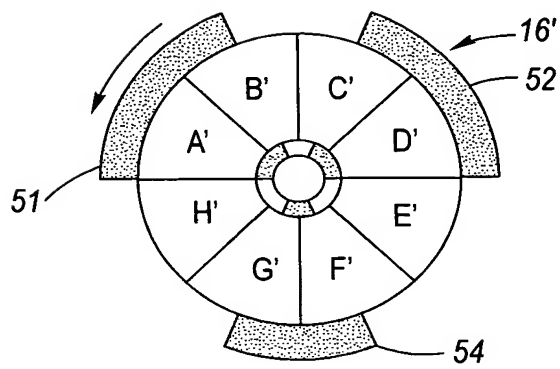


Fig. 14A

Fig. 14B

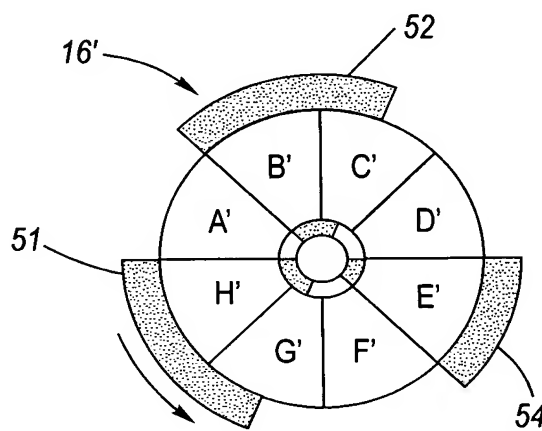
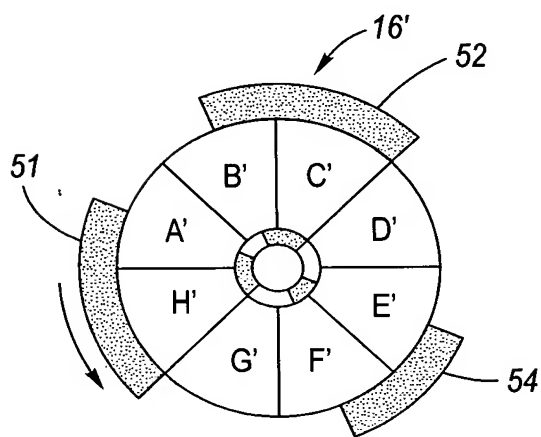


Fig. 14C

Fig. 14D

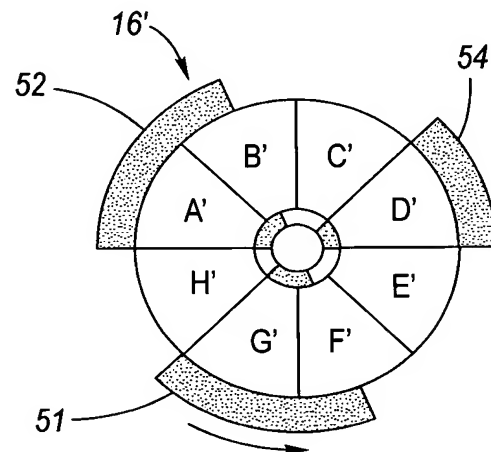
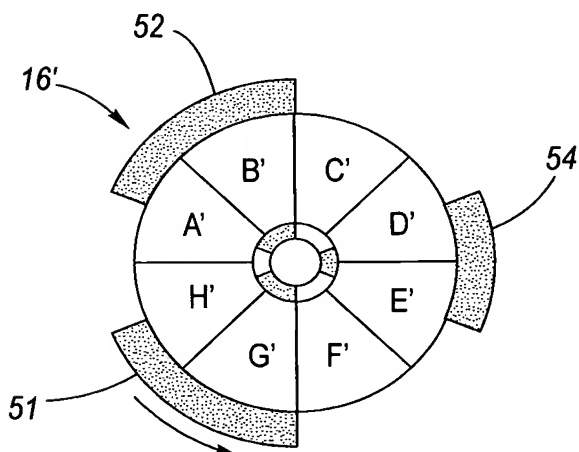


Fig. 14E

Fig. 14F

10/13

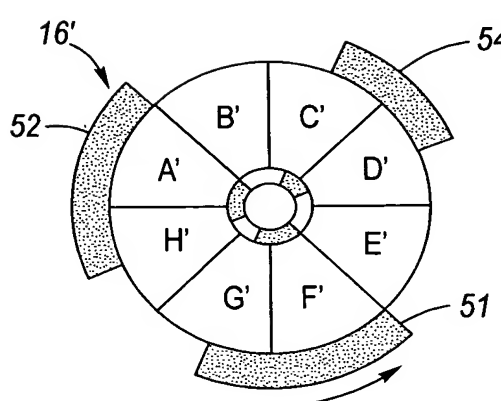


Fig. 14G

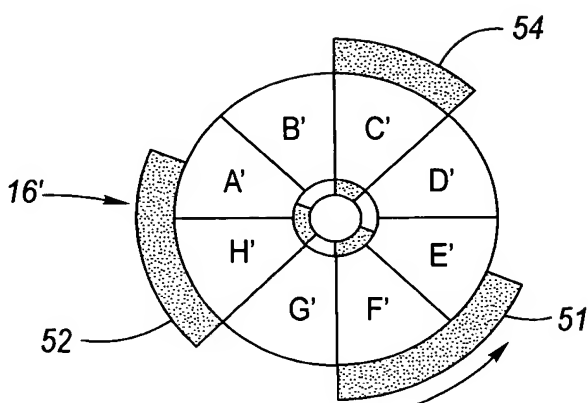


Fig. 14H

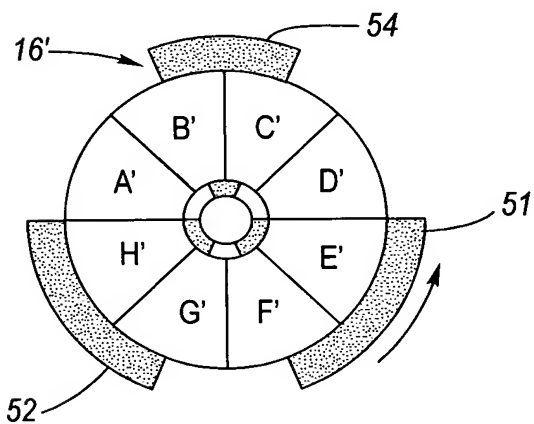


Fig. 14I

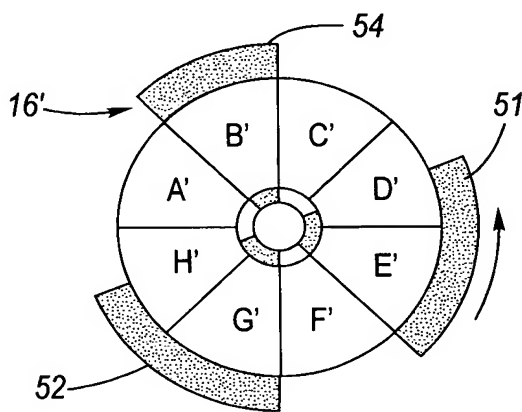


Fig. 14J

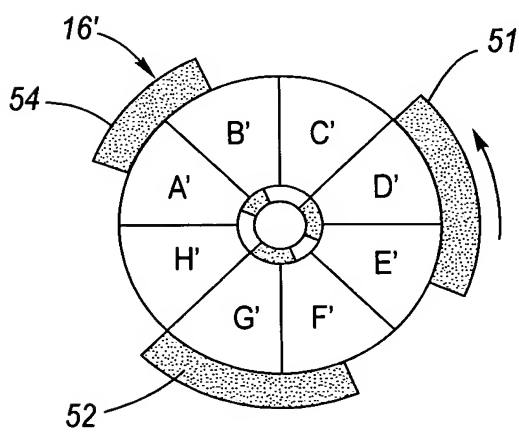


Fig. 14K

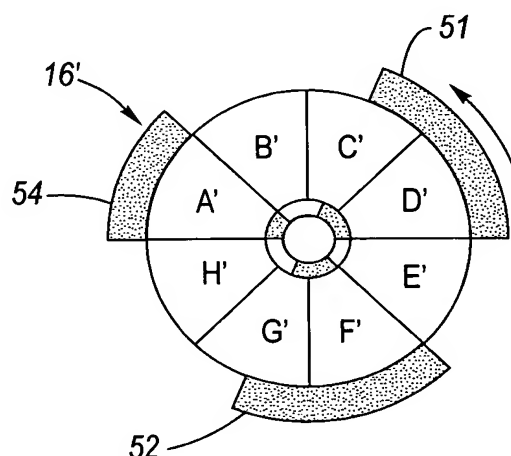


Fig. 14L

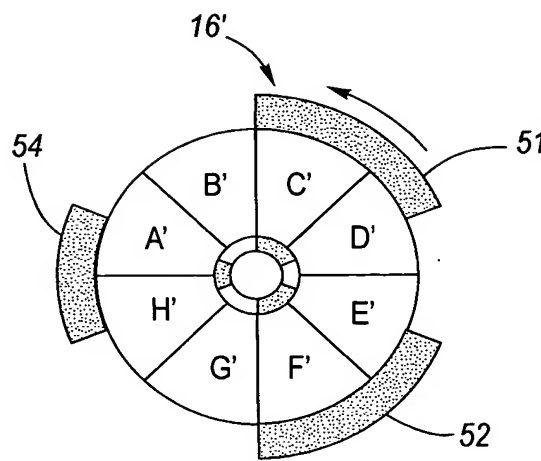


Fig. 14M

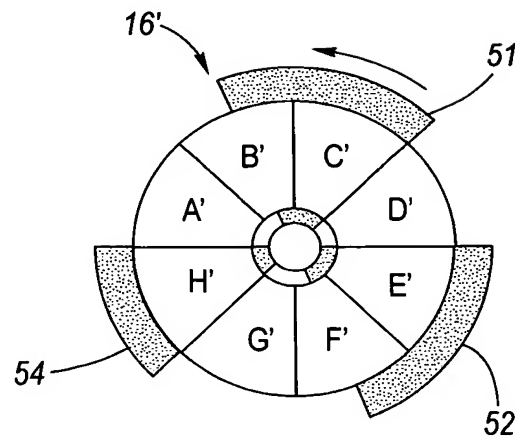


Fig. 14N

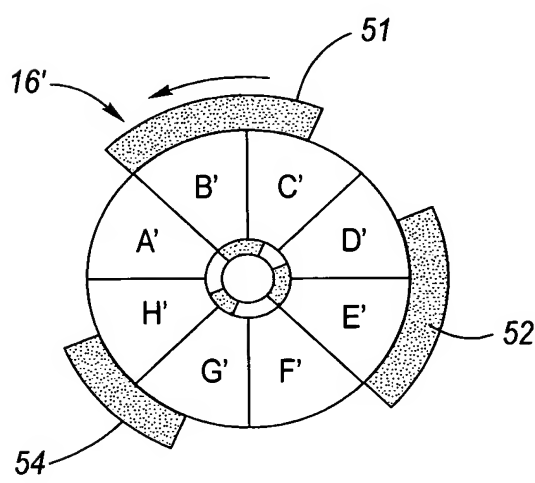


Fig. 14O

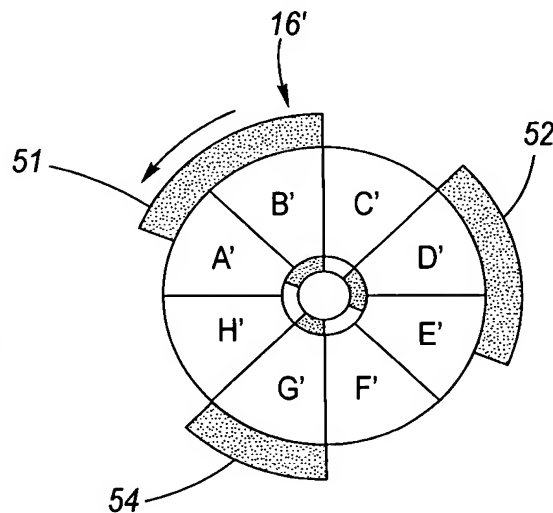
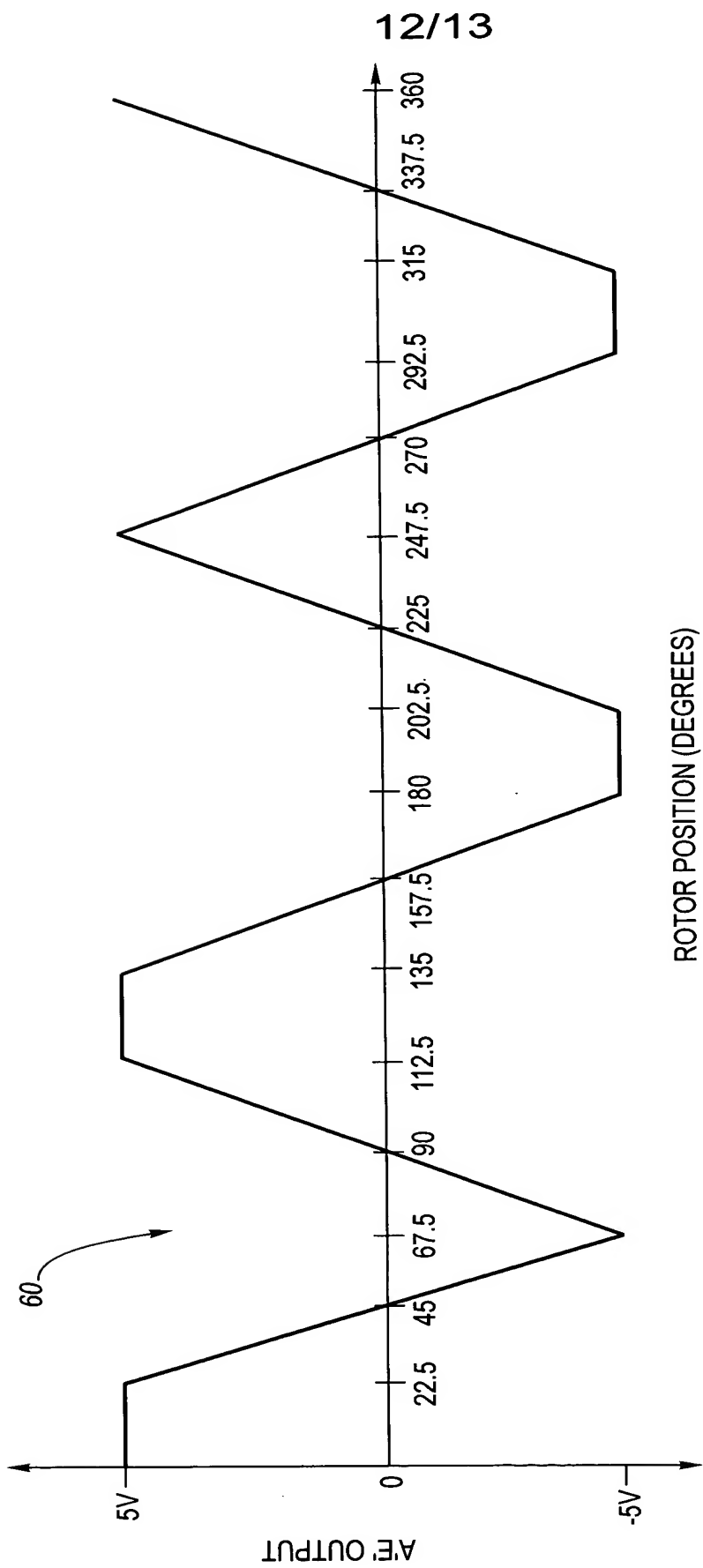
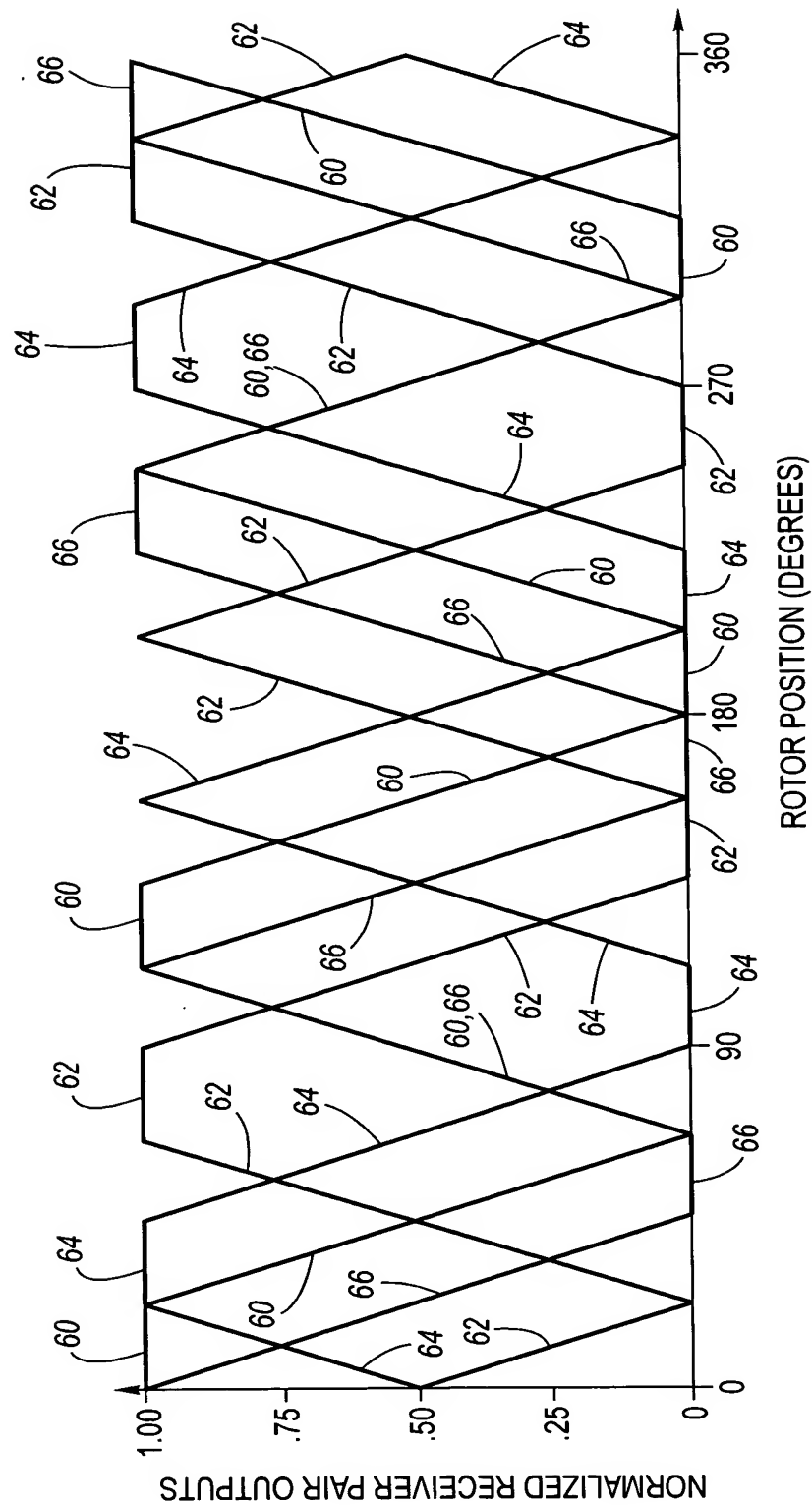


Fig. 14P



Dig. 15

13/13



Aug. 16